碳纳米管负载纳米 N修饰电极及碱液中电氧化甲醇

徐红艳 吴华强^{*} 徐冬梅 王谦宜 (安徽师范大学化学与材料科学学院 芜湖 241000)

摘 要 采用湿化学法在碳纳米管 (MW CNTs)上负载 N 纳米粒子 (MW CNTsN i),并制备 MW CNTsN 修饰 玻碳电极 (MW CNTsN i) GCE),用 X射线粉末衍射和透射电子显微镜测试技术对 MW CNTsN 的物相和形貌 进行了表征,通过循环伏安法研究了该修饰电极在碱性介质中的电化学行为以及对甲醇的电催化氧化作用。 结果表明,面心立方的 N 纳米粒子均匀分散在碳纳米管表面,平均粒径约为 16 mm MW CNTsN i GCE 在碱性介质中的电化学行为是受扩散控制的准可逆过程,对甲醇的电催化氧化具有较高的电催化活性。

关键词 碳纳米管,纳米镍,电催化氧化,甲醇

中图分类号: 0646

文献标识码. A

文章编号: 1000-0518(2007)05-0503-04

近年来利用碳纳米管负载贵金属铂粒子制得电催化活性高的新型催化剂成为一个新的研究方向 $^{[1]2}$ 。许多研究者尝试了在碱性介质中用各种形式的 $^{[1]2}$ 电极电催化氧化甲醇的研究 $^{[3]4}$, $^{[3]4}$, $^{[3]4}$, $^{[4]4}$ 在负电位范围生成 $^{[4]4}$ 的 $^{[4]4}$, $^{[4]4}$ 的 $^{[4]$

1 实验部分

1.1 仪器和试剂

1.2 碳纳米管负载纳米 N的制备

将一定量碳纳米管放入 $\frac{\text{HNQ}}{\text{PND}}$ 中加热回流 6 与冷却后洗涤碳纳米管,然后加入一定量 $\frac{\text{N(NQ)}}{2}$ 6 $\frac{\text{HNQ}}{2}$ $\frac{\text{HNQ}}{2}$ 中,电磁搅拌,加热至 $\frac{\text{HNQ}}{2}$ 为一个人,通 $\frac{\text{HNQ}}{2}$ 为一个人,通 $\frac{\text{HNQ}}{2}$ 为一个人,是 $\frac{\text{HNQ}}{2}$ 为一个人,是 $\frac{\text{HNQ}}{2}$ 的,是 $\frac{\text{HNQ}}$

1.3 MW CNT & N i/GCE的制备

玻碳电极 ($^{\circ}$ 3 mm)先在 0.01 μ m AlQ上抛光,依次用去离子水、丙酮超声清洗 5 m $^{\circ}$ 1 自然晾干。 1 mgMWCNTsN纳米复合材料加入 5 mL丙酮中,超声分散 3 m $^{\circ}$ 1得浅黑色悬浊液。取 50 μ I浅黑色悬浊液滴到玻碳电极表面,自然晾干即得 MWCNTsN 修饰玻碳电极(即 MWCNTsN $^{\circ}$ CE)。为了对比,HNQ 酸化后的 MWCNT 修饰的玻碳电极(即 MWCNT $^{\circ}$ GCE)按相同的程序制备。

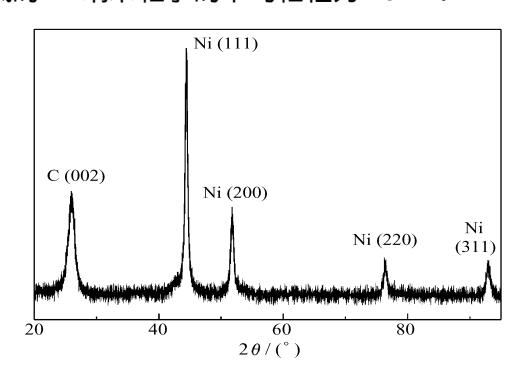
1.4 实验方法

实验采用 $MWCNT \le N_i/GCE$ 为工作电极,P丝为对电极,饱和甘汞电极(SCE)为参比电极的三电极体系;循环伏安法在 1.0 mol/I的 N = OH溶液中及加入适量甲醇的溶液中测试,待响应曲线稳定后,记录相应的电位 电流曲线。表观电流密度按实测电流除以表观电极面积得到。

2 结果与讨论

2 1 MW CNT s N 的 XRD和 TEM表征

图 1为 MWCNTsN纳米复合材料的 X射线粉末衍射图。图中可见,在 2θ 为 25.94 时出现的是碳纳米管的 (002)晶面衍射峰; 2θ 为 44.40°、51.75°、76.32 和 92.91 出现的衍射峰是面心立方结构的 Ni 在 (111)、(220) 和 (311)方向的衍射峰,其晶胞参数的计算值为 a=0.352.9 m;这与标准卡片 JCHDS 04.0850数值 a=0.352.3 m基本吻合。根据 XRD的 $S^{cherrer}$ 公式: $D=0.89\lambda$ β cos9 计算,碳纳米管上负载的 N 纳米粒子的平均粒径为 15 m。



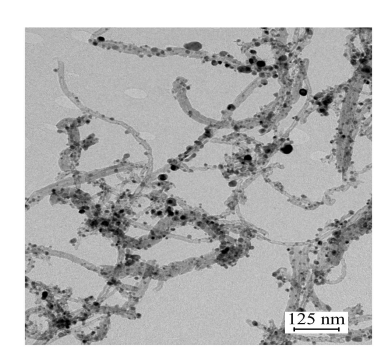


图 1 MW CNTs N 纳米复合材料的 X射线粉末衍射图 Fig 1 X-ray diffraction pattern of the MW CNTs N i nanocomposite

图 2 MWCNTsN 複合纳米材料的 TEM照片 F F 2 TEM image of the N i nanoparticles attached to carbon nanotubes

图 2为 MWCNTs.N复合纳米材料的 TEM照片。从图中可看出,碳纳米管呈弯曲的形状,N纳米粒子均匀分散在碳纳米管的表面,平均粒径约为 16 m,与 XRD计算结果基本一致。这种分散状态的 Ni 纳米粒子具有较大的表面积。

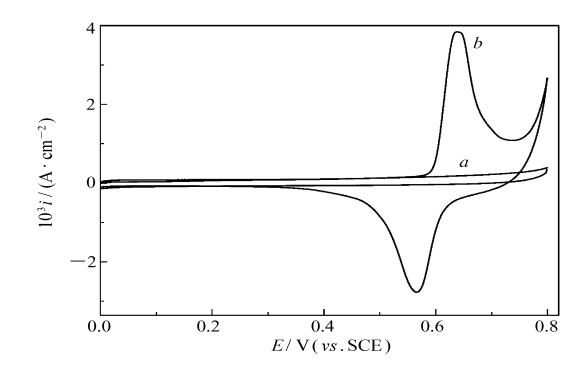
2.2 MW CNTsNyGCE在碱液中的电化学行为

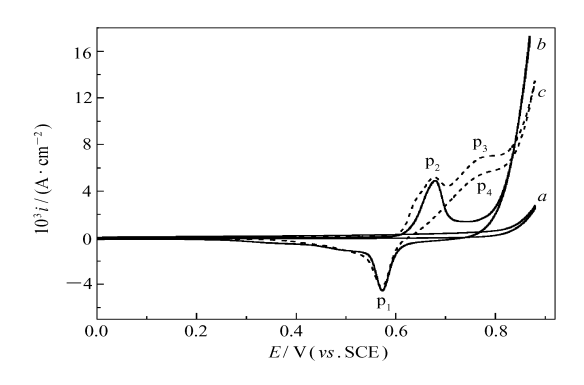
图 3为 MWCNTs/GCE和 MWCNTsNi/GCE在一定条件下经多次循环伏安实验达到稳定后的循环伏安图。图中可见,在 1.0 mol/L NaOH溶液中,MWCNTs/GCE无明显的氧化还原峰;而 MWCNTsNi/GCE出现了 1对峰形很好的氧化还原峰,这对氧化还原峰是由于 β -Ni(OH)2和 β -NOOH之间的转化所致 10^{-12} ,其氧化还原峰的电位分别为 0.640和 0.566 以 Δ E为 0.074 以比 N纳米线电极和镍本体电极 10^{-13} 在 1.0 mol/L KOH溶液中 Δ E分别为 0.104和 0.111 V要少,说明分散在碳纳米管上的 β -Ni (OH)2和 β -NOOH之间的转化具有更好的可逆性。

图 4为 MWCNTsNi/GCE在 1.0 mol/LNaOH溶液中不同扫描速度下的循环伏安图。图中可见,随扫描速度增加,峰电流增大,氧化峰电位和还原峰电位略受扫速影响, Δ E随扫描速度增加而增大。内插图显示了该氧化还原反应的氧化峰电流与还原峰电流分别与 v^2 成良好的直线关系,表明该反应是受扩散控制的准可逆过程。根据公式: $i=2.69\times10^5\times r_4\times(Dv)^{1/2}\times C_6$ 求得质子扩散系数 (D)为 1.57× 10^{-9} cm^2 / 与 N纳米线的质子扩散系数的数量级一致 (D)0 因此,分散在碳纳米管上的 (D)1 和 (D)1 (D)2 (D)3 因此,分散在碳纳米管上的 (D)3 和 (D)4 (D)5 (D)6 (D)7 (D)8 (D)8 (D)9 (D)9

2 3 MW CNT s N i/GCE在碱液中对甲醇的电催化氧化

图 5为 MWCNT%GCE和 MWCNT&Ni/GCE在 1.0 mol/LNaOH+0.08 mol/L CH, OH溶液中扫描速度为 50 mV/时的循环伏安图。图 5曲线 a为 MWCNT%GCE在 0.08 mol/L CH, OH溶液中的循环伏

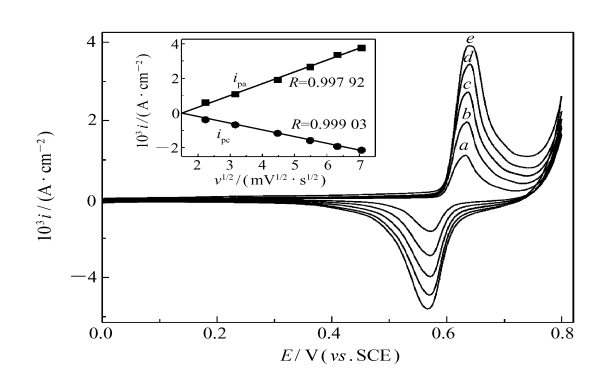




NaOH溶液中对甲醇电催化循环伏安图
F # 5 Cyclic voltammograms of MW CNT y GCE and
MW CNT s Ni/GCE in 1 0 mol/L NaOH+0 08 mol/L CH₃ OH
Scan rate 50 mV/ s

a MW CNT y GCE 1 0 mol/L NaOH+0 08 mol/L CH₃ OH
b MW CNT s Ni/GCE 1 0 mol/L NaOH+0 08 mol/L CH₃ OH

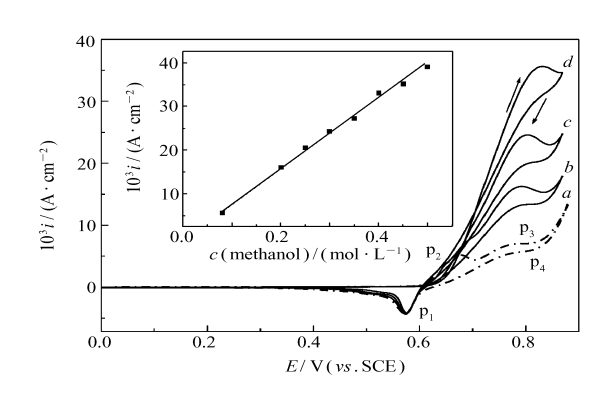
图 5 MW CNT \$ GCE和 MW CNT \$ N i/GCE在 1.0 m o) L



不同扫速下的循环伏安图
F其4 Reproducible cyclic volummograms of a
MWCNTs.Ni/GCE at different scan rates in 1 0 mol/L NaOH
Insert dependence of anodic peak current(ipa) and
cathodic peak current(ipc) on square root of scan rate(**/2)

 $E/(mV \circ s^{-1})$; a 10 b 20 5 30 d 40, e 50

图 4 MWCNTsNi/GCE在 1.0 mol/LNiOH溶液中



甲醇浓度的循环伏安图
FF6 CYClic voltammograms of a MW CNTs.Ni/GCE
in 1.0 mol/LNaOH solution with methanol present

□ 50 mV/F

Inset variation of the methanol oxidation peak current at

MW CNTs.Ni/GCE with its concentration

(CH,OH)/(mol·L⁻¹): a 0.08, b 0.2, f 0.3, d 0.45

图 6 在 1.0 mol/L NaOH溶液中不同

安曲线,没有观察到明显的氧化还原峰,说明 $MWCNT \circ GCE$ 在碱液中对甲醇没有明显的电催化氧化作用;图 5曲线 b为 $MWCNT \circ Ni/GCE$ 在无甲醇的 1.0 $mol/LN \circ OH$ 溶液中的循环伏安曲线,峰 $\mathfrak Q$ 和 $\mathfrak Q$ 为 $\mathfrak p$ -N $\mathfrak l(OH)_2$ 和 $\mathfrak l$ -N $\mathfrak l(OH)_2$ 一为 $\mathfrak l(OH)_2$ 中的循环伏安的图 5曲线 b相比,发现 $\mathfrak l(OH)_2$ 一为 $\mathfrak l(OH)_2$ 一为 $\mathfrak l(OH)_2$ 中流略有增大,还原峰 $\mathfrak l(OH)_2$ 的定义是有一个 $\mathfrak l(OH)_2$ 的定义是由流密度增加,相应地参与电还原反应的 $\mathfrak l(OH)_2$ 的次度增加导致了氧化峰 $\mathfrak l(OH)_2$ 电流密度增加,相应地参与电还原反应的 $\mathfrak l(OH)_2$ 的次度降低导致了还原峰 $\mathfrak l(OH)_2$ 的流度的降低,结果与文献 $\mathfrak l(OH)_2$ 和 $\mathfrak l(OH)_2$ 为甲醇的氧化峰 $\mathfrak l(OH)_2$ 为甲醇的氧化峰 $\mathfrak l(OH)_2$ 和 $\mathfrak l(OH)_2$ 为甲醇的氧化峰 $\mathfrak l(OH)_2$ 和 $\mathfrak l(OH)_2$ 为甲醇的氧化峰 $\mathfrak l(OH)_2$ 和 $\mathfrak l(OH)_2$ 和 $\mathfrak l(OH)_2$ 为甲醇的氧化峰 $\mathfrak l(OH)_2$ 和 $\mathfrak l$

图 6为 MWCNTs-Ni/GCE在不同甲醇浓度时的循环伏安图。图中可见,当甲醇浓度为 0.45~mol/L

时, \S 的表观电流密度达 35.72×10^{-3} A/ \mathfrak{m}^2 ,因此 MWCNTsNi/GCE在碱液中对甲醇具有较高的电催化活性。图中还可知,随甲醇浓度增大, β -NOOH还原峰电流减小,而 β -Ni(OH)。氧化峰电流随之增大, β -Ni(OH)。与 β -NOOH转化的氧化还原峰形变差, \S 和 \S 向正方向移动。在甲醇浓度为 0.45 \mathfrak{m} 이 \mathfrak{m}^2 时,图 6曲线 发生交叉, \mathfrak{E} \mathfrak{l} \mathfrak{s} \mathfrak{l} \mathfrak{s} \mathfrak{s}

参 考 文 献

- 1 Yao Y L Ding Y Ye L S Xia X H Carlon J, 2006 44 61
- 2 Carmo M. Pagan in V. A. Roso Jen J. M. Gonza Jez E. R. J. Power Sources J., 2005 142 169
- 3 KONG Jing Lin(孔景临), XUE Kuan-Hong(薛宽宏), HE Chun-Jian(何春建), SHAO Ying(邵颖), CHEN Qiao Ling (陈巧玲), YAO Jian Lin(姚建林), XE Yong(谢泳), TIAN Zhong Qun(田中群). Chinese J Appl Chem(应用化学) [J, 2001 6 462
- 4 Opini R Racof JB, Salmany A fagh P J Electroana | Chem J, 2004 571 1
- 5 Grden M, Klimek K, JE Jectroanal Chem J, 2005 581, 122
- 6 AbdelRahim M A Abdel Hameed R M Khalil M W. J Power Sources J, 2004 134 160
- 7 Xu Q Zhang L, Zhu J J Phys Chem B J, 2003 107. 8 294
- 8 Ang L M, Hor T S A, Xu G Q Tung C H, Zhao S P, W ang J L S, Carbon J, 2000 38 363
- 9 WuHQ Cao Y J Yuan P S XuHY, WeiXW. Chem Phys Lett J, 2005 406 148
- 10 Case la IG Guasci to MR Sannazzaro MOL/LG JE lectroanal Chem J, 1999 462 202
- 11 Zhou H B, Zhou Z T, Solid State Ion ict J, 2005 176 1 909
- 12 Hu C C, Cheng C Y, J Power Sources J, 2002 111 137
- 13 El-Shafei A.A. J.E. Jectroanal Chem. J., 1999 471, 89

G lass Carbon E lectrode Modified with Nanocrystalline Nickel decorated Carbon Nanotubes and Its E lectrocatalysis of Methanol Oxidation in Alkaline Solution

XU Hong Yan, WU Hua Qiang, XU Dong Mei WANG Qian Yi (College of Chemistry and Materia & Science Anhui Norma l'University Wuhu 241000)

Abstract Nanocrystalline nickel with an average diameter of about 16 mm and a face centered cubic (fc) structure were uniformly attached to the surface of multiwall carbon nanotubes by wet chemistry and the product was characterized by X_ray power diffraction and transmission electron microscopy. A glass carbon electrode modified with the nickel decorated carbon nanotubes (MWCNTsNi/GCE) was prepared. The electrochemical behavior of the MWCNTsNi/GCE and the electrocatalytic oxidation of methanol at the MWCNTs. Ni/GCE were investigated by means of cyclic voltammentry in 1.0 mol/L NaOH solution. The cyclic voltammentry showed the electron transfer of β -Ni(OH) β -NOOH is mainly a diffusion controlled quasi reversible process, and the high catalytic activity of the electrode for the electrocoxidation of methanol in a kaline medium suggests its potential application in a kaline rechargeable batteries and fuel cells

Keywords carbon nanotube Ninanoparticles electrocatalytic oxidation methanol